

# Некоторые алгоритмы многомерной обработки изображений



---

Юрий Бердников

*Video Group*  
*CS MSU Graphics & Media Lab*



# Содержание

---

- **Введение**
- Gaussian KD-Tree
- Permutohedral Lattice (PL)
- Adaptive Manifolds (AM)
- Заключение

# Введение

- Алгоритмы многомерной фильтрации применяются почти во всех наших проектах
- Они универсальны
- Они медленно работают



Изображение из Mr. Barlow's blog  
<http://mrbarlow.wordpress.com/2008/11/30/turtle-in-a-half-shell-turtle-power/>

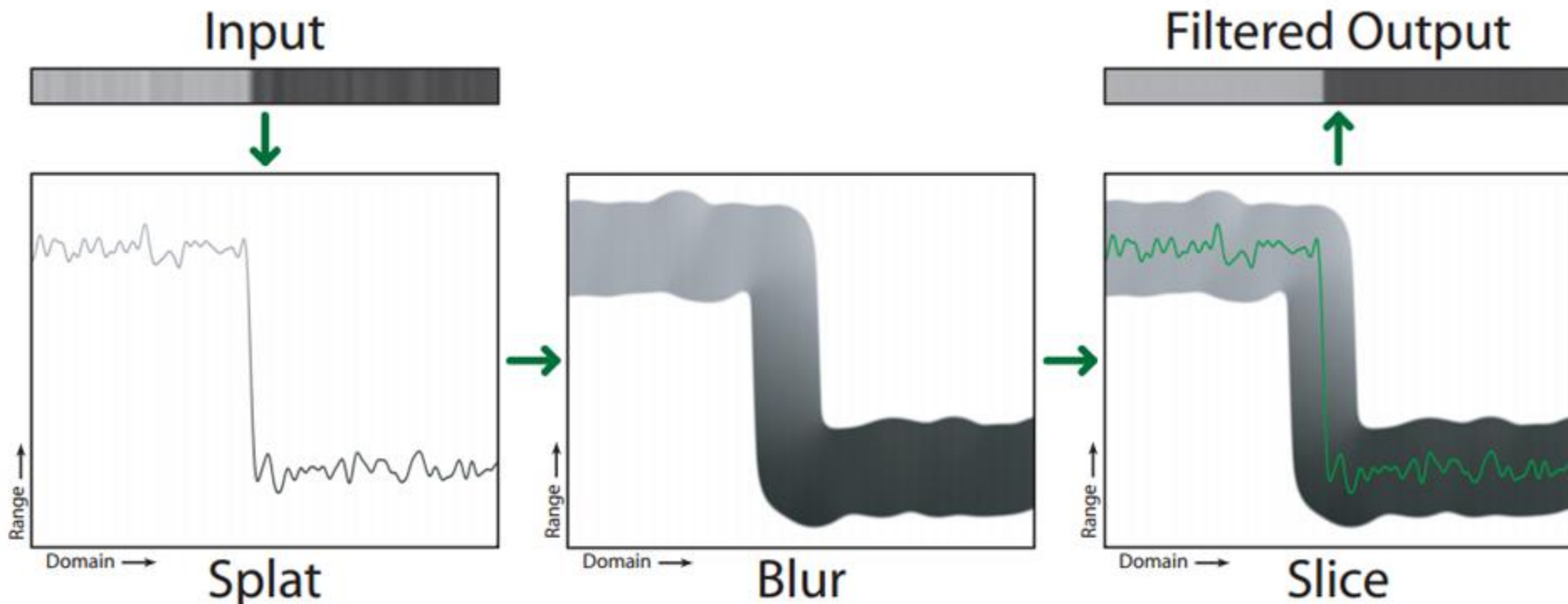


# Содержание

---

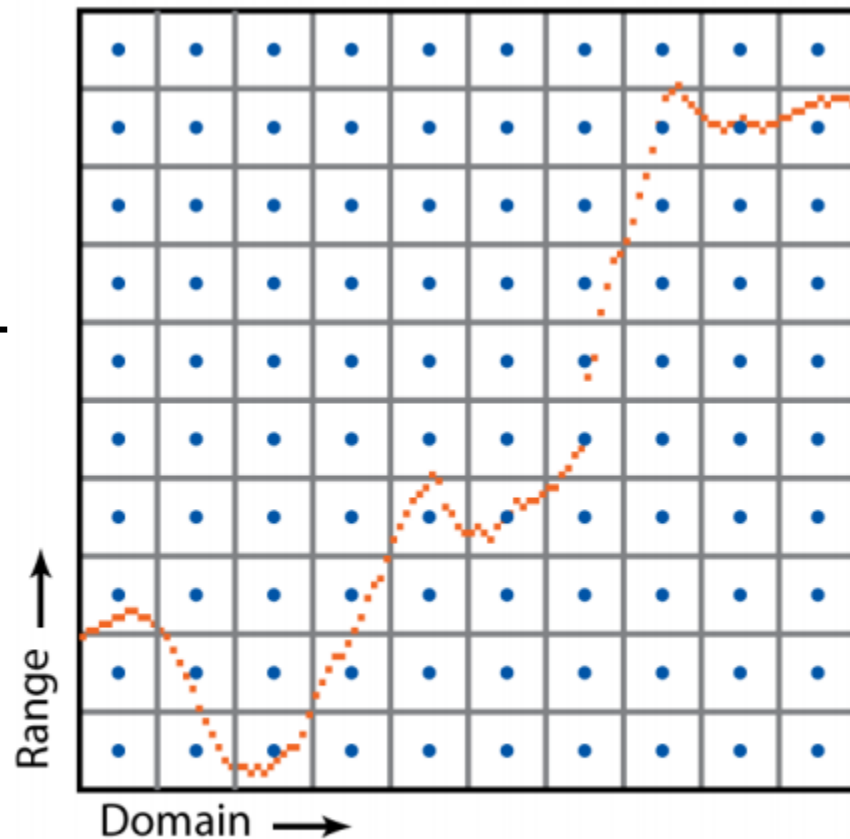
- Введение
- **Gaussian KD-Tree**
- Permutohedral Lattice (PL)
- Adaptive Manifolds (AM)
- Заключение

# Основы метода



# Bilateral grid

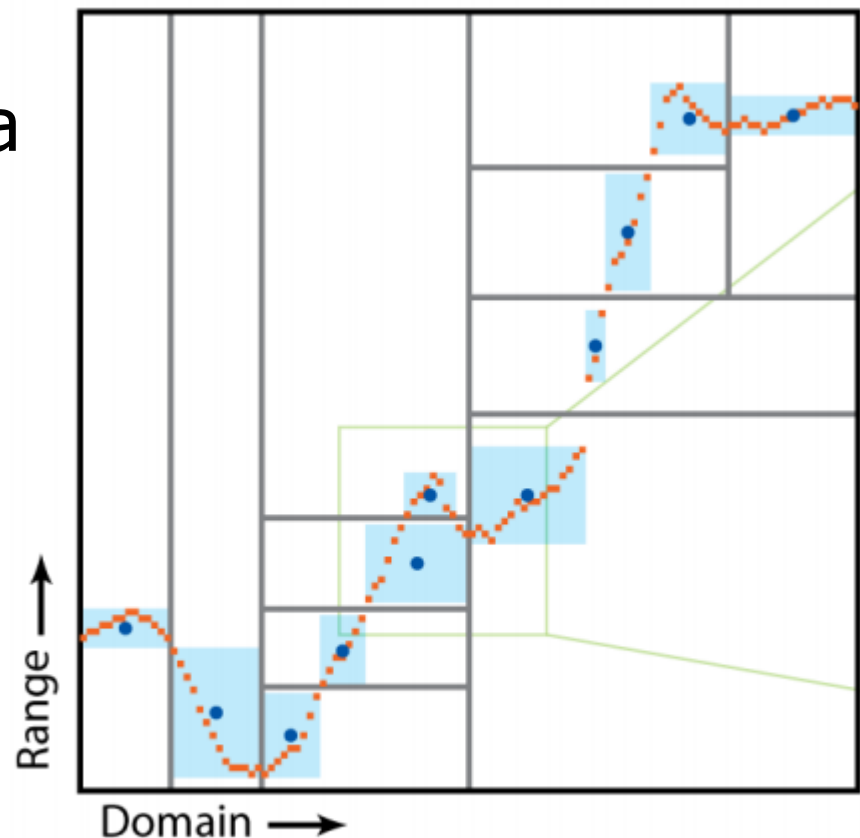
- Равномерная сетка
- Экспоненциальный рост количества точек с ростом размерности пространства



Bilateral grid

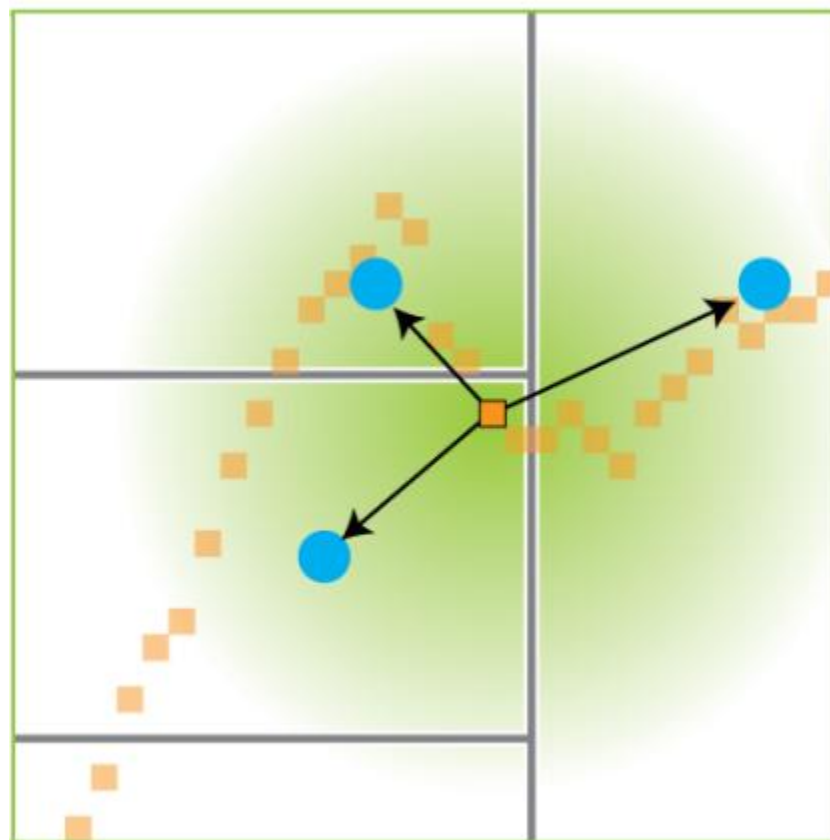
# KD-Tree

- Разбиение пространства  $k$ -мерным деревом
- Медленный рост количества точек с ростом размерности пространства
- Дополнительные затраты на построение



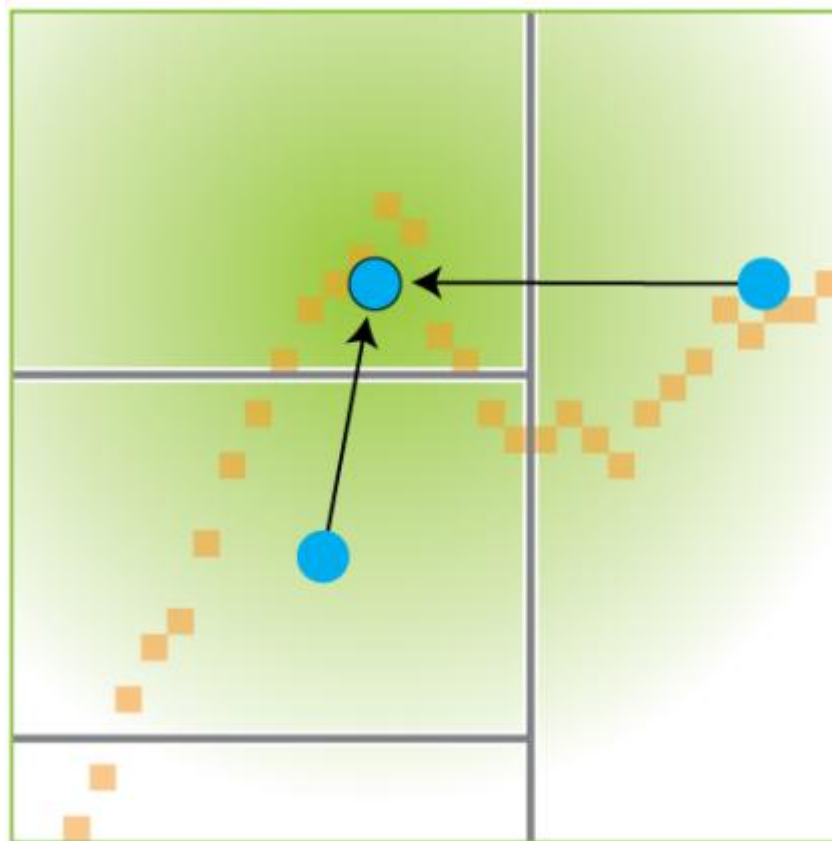
Gaussian kd-tree

# Splatting

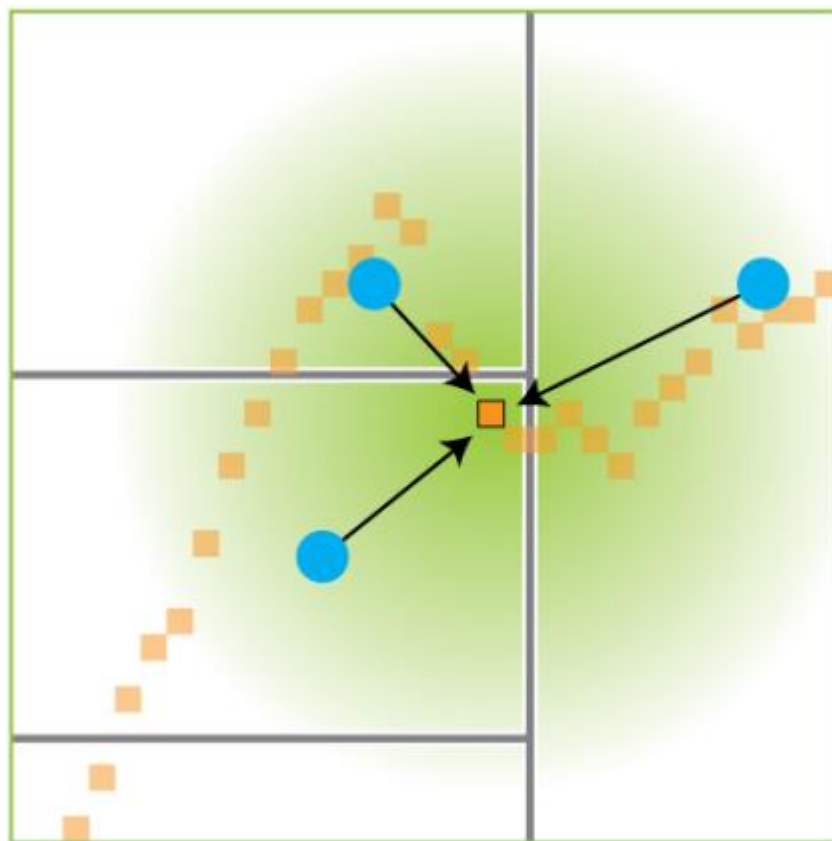




# Blurring

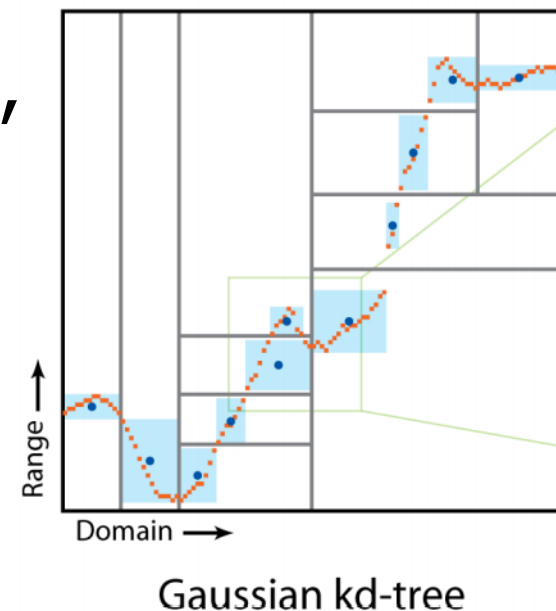


# Slicing



# Построение KD-Tree

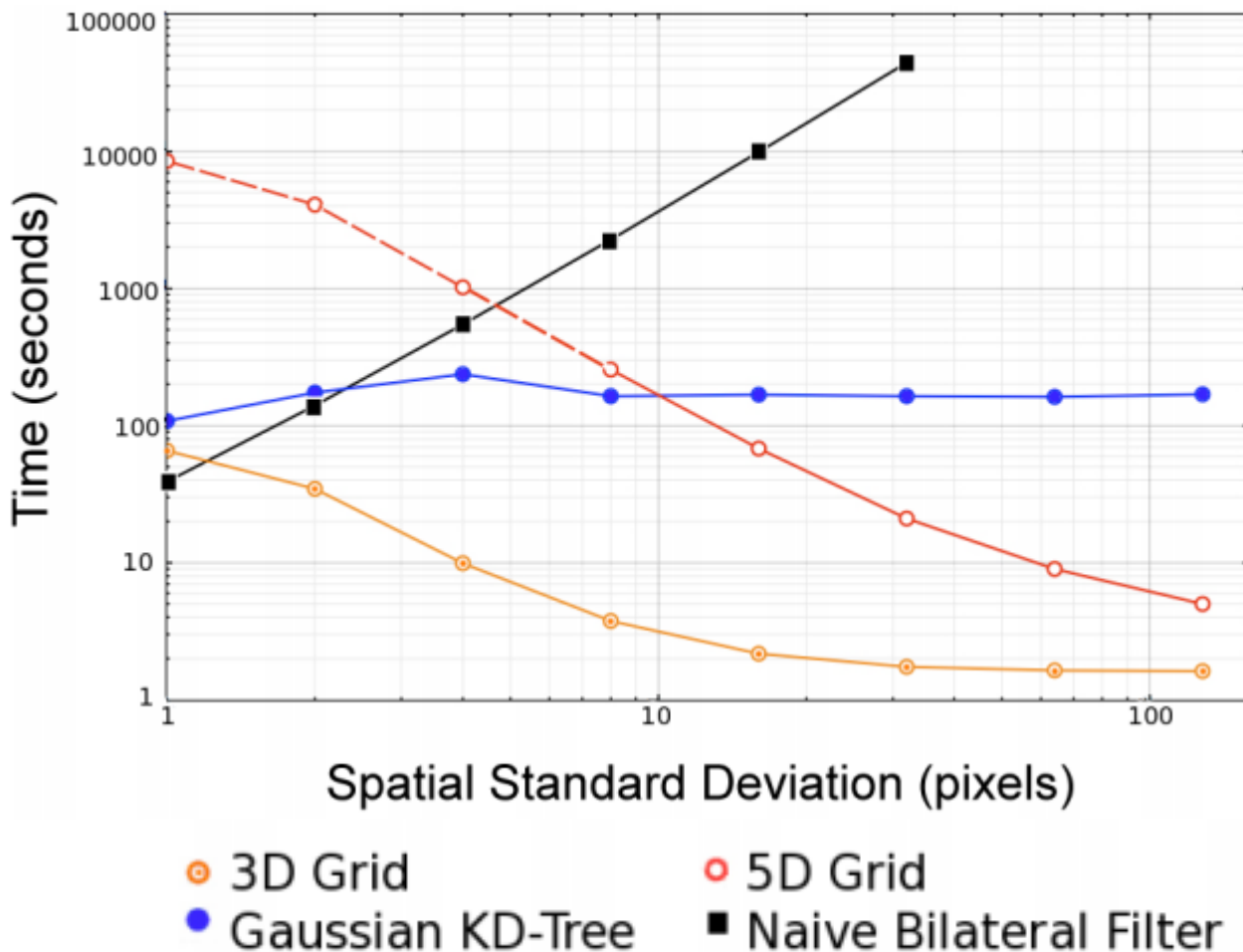
1. Построение Bounding Box (BB)
2. Если размер BB меньше порога, конец итерации, центр BB – вершина дерева
3. Разделение BB вдоль меньшей оси
4. Повторение шагов 1 – 4 для получившихся сегментов



# Условия тестирования

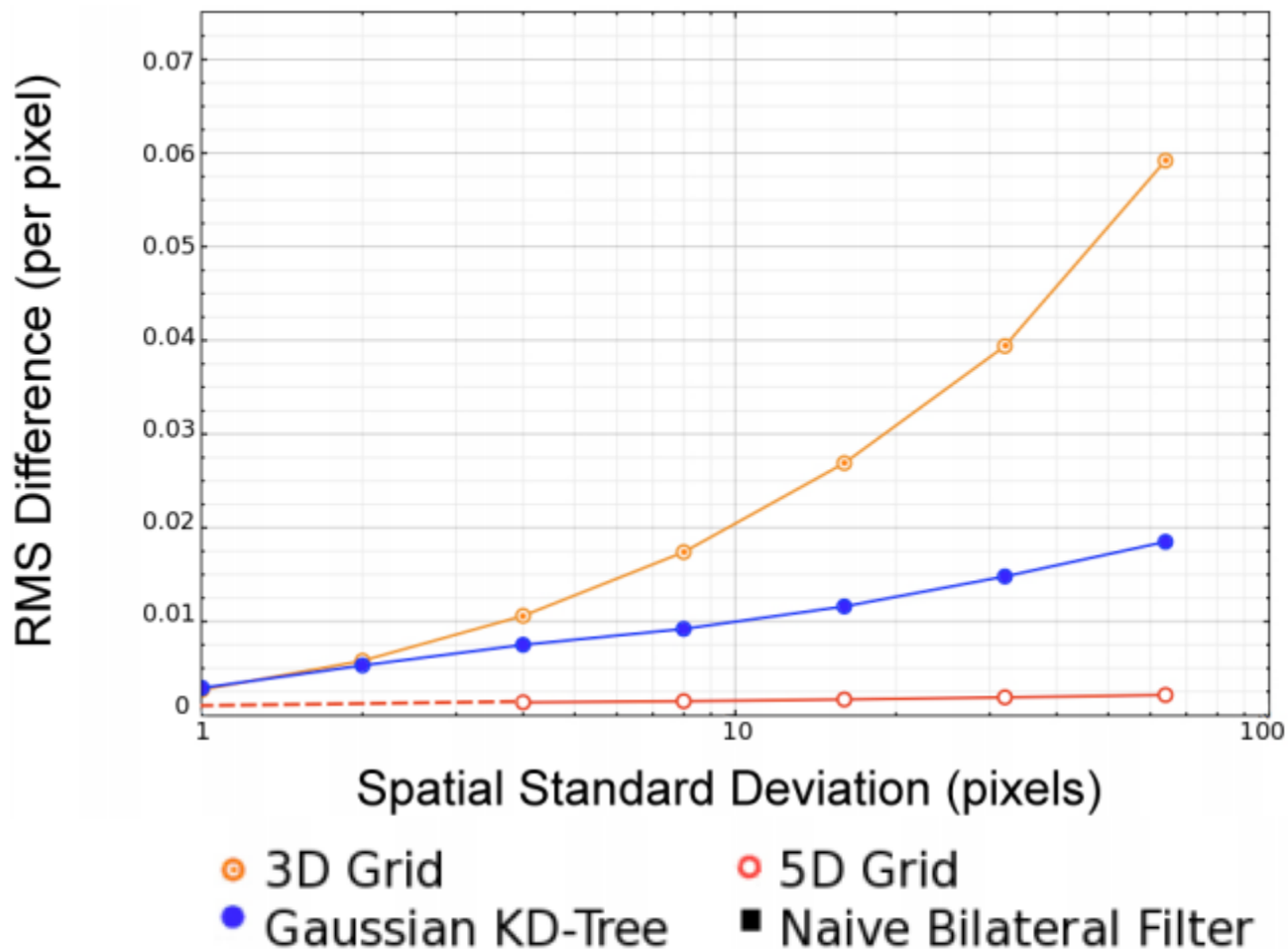
- 10 Мп RGB-изображение
- Дисперсия по цвету =  $1/8$
- CPU-реализация на Core2Duo 2.13 GHz
- GPU-реализация на GTX280  
(ускорение в 10 раз)

# Скорость работы

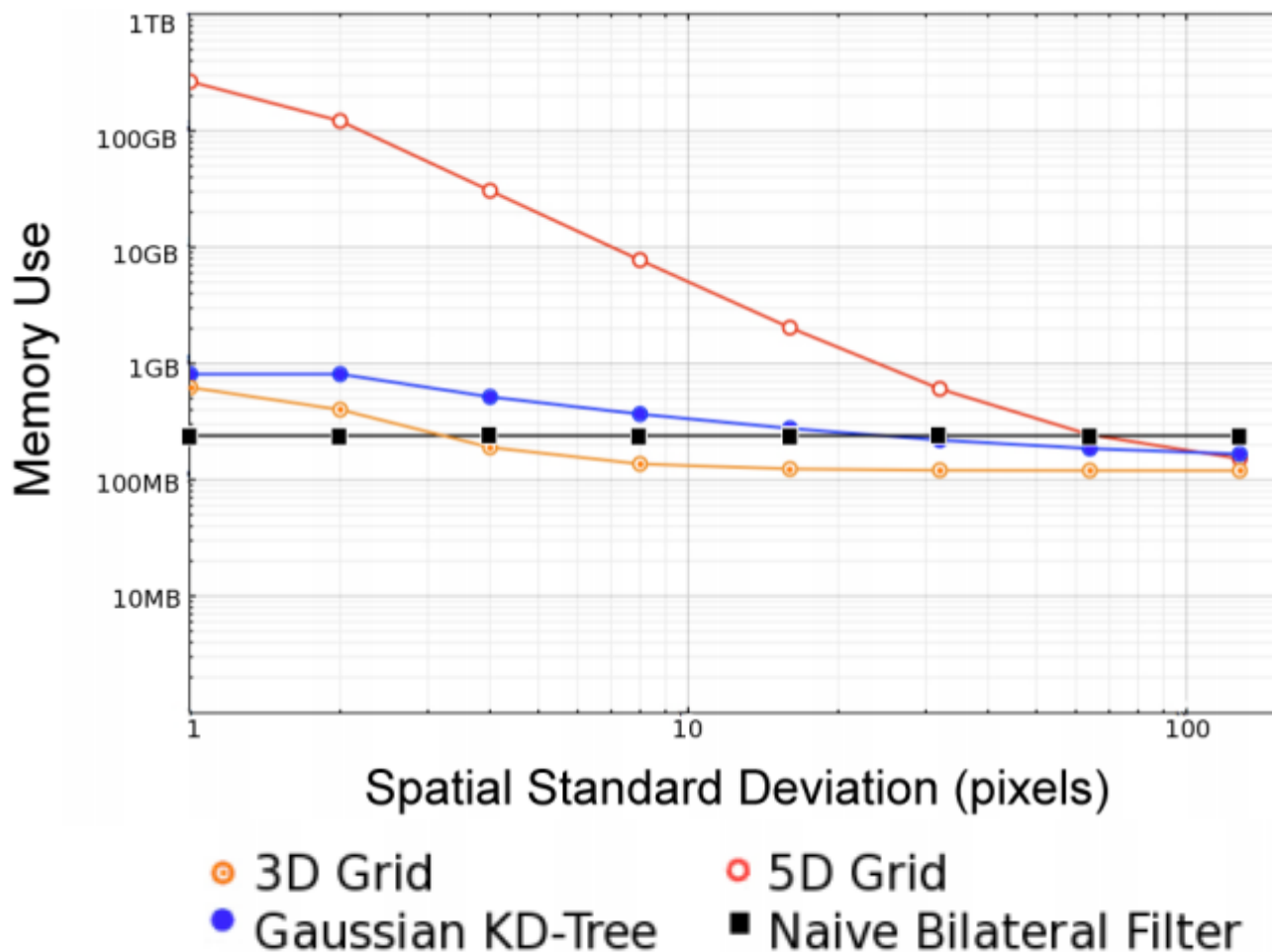


# Качество работы

## Root Mean Square (RMS)



# Использование памяти



# Примеры работы

## Naive Bilateral Filter (NBF)





# Примеры работы

## 5D Grid



# Примеры работы

## KD-Tree



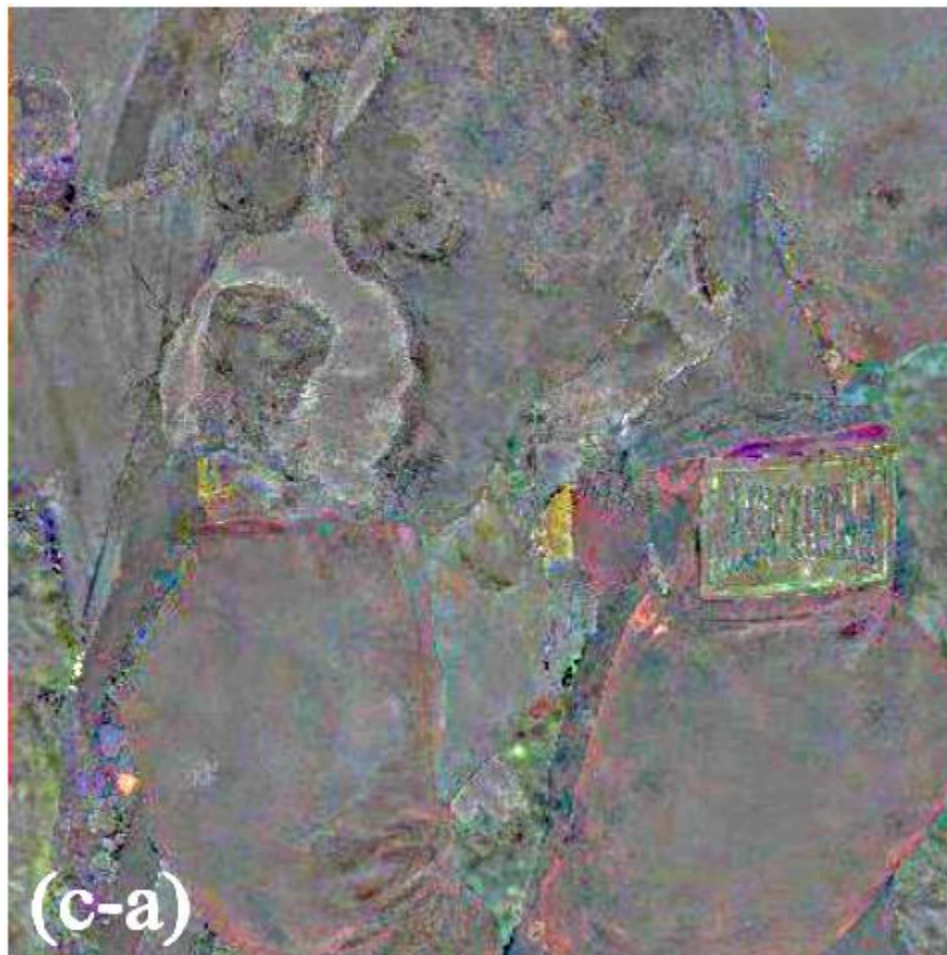
# Примеры работы

## 3D Grid



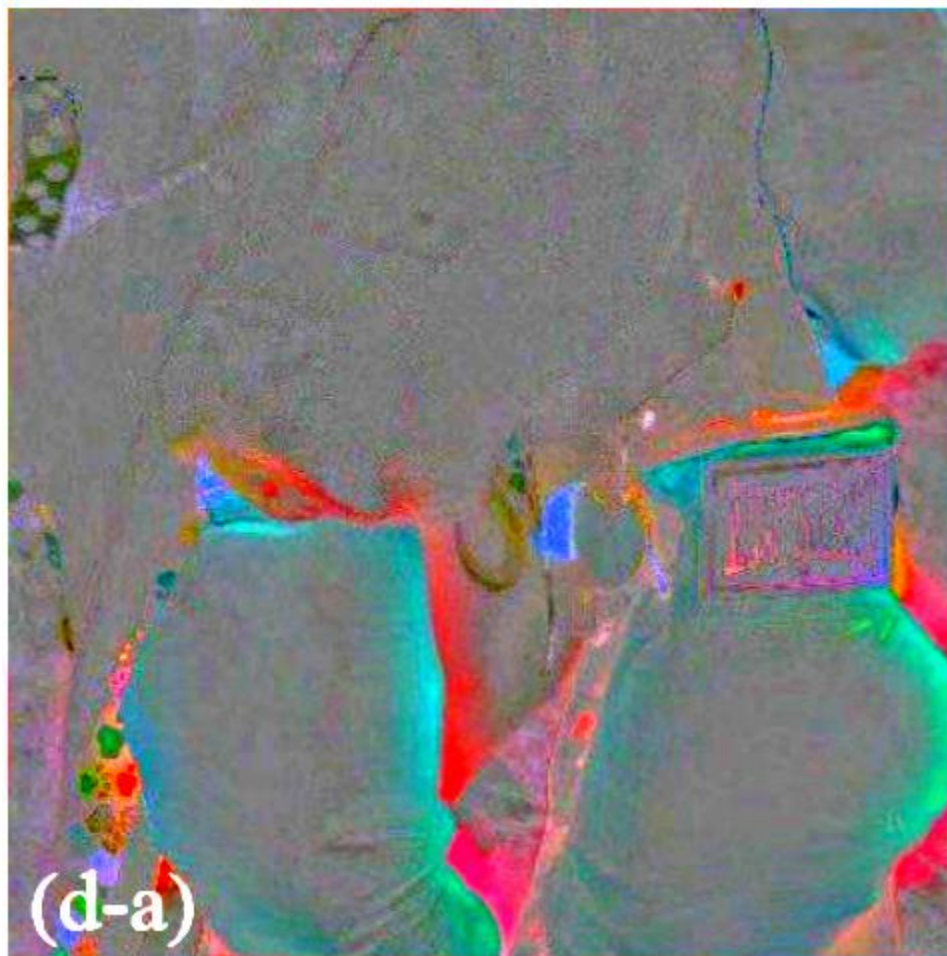
# Примеры работы

## Разность KD-Tree и NBF



# Примеры работы

## Разность 3D Grid и NBF





# Выводы

---

## Достоинства

- Высокая скорость работы
- Доступен код на C++ и CUDA
- Доступна авторская видеопрезентация

## Недостаток

- Не представлено примеров по нашим темам

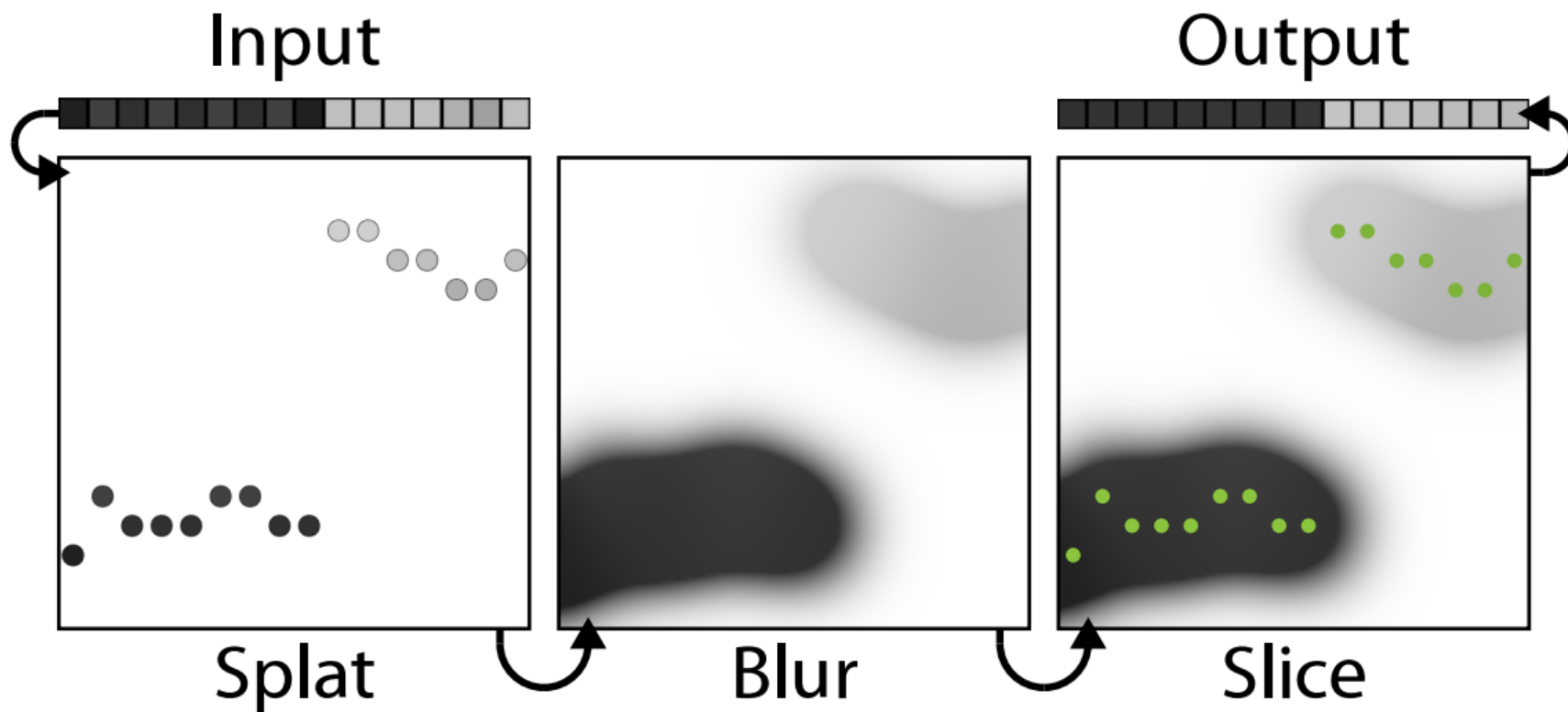


# Содержание

---

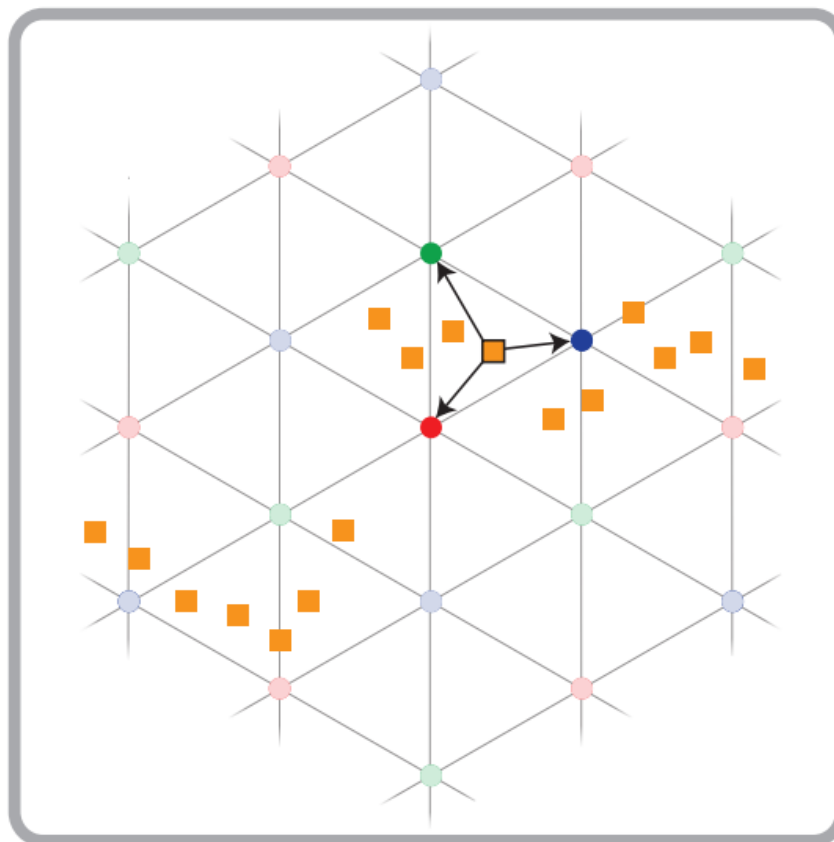
- Введение
- Gaussian KD-Tree
- **Permutohedral Lattice (PL)**
- Adaptive Manifolds (AM)
- Заключение

# Основы метода



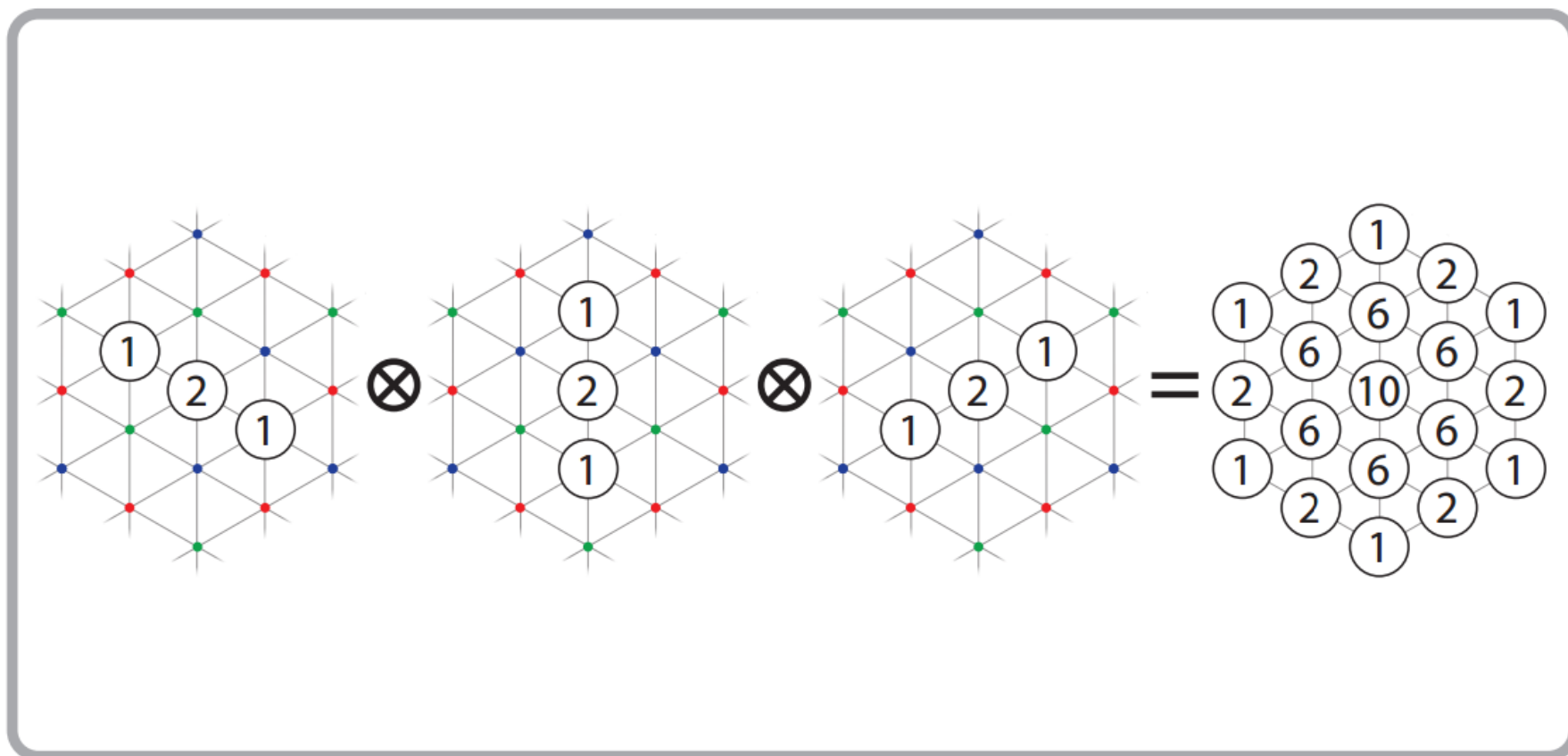


# Предложенный метод (1)



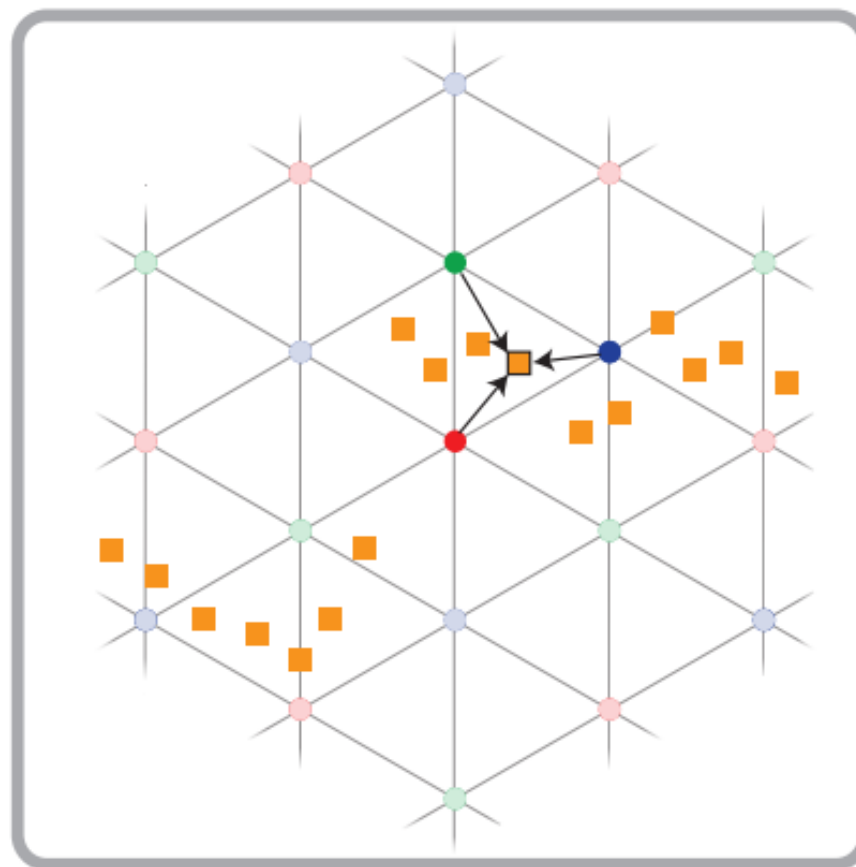
Splat

# Предложенный метод (2)



Blur

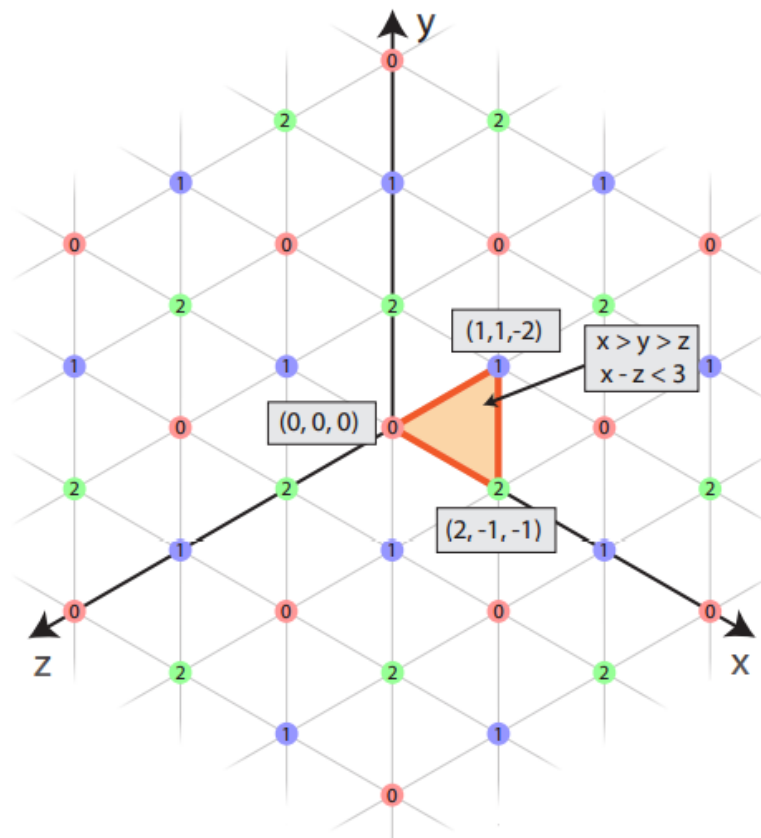
# Предложенный метод (3)



Slice

# Permutohedral Lattice

Проекция  $n$ -мерной  
целочисленной решетки  
на  $(n - 1)$ -мерную  
плоскость,  
ортогональную  
единичному вектору

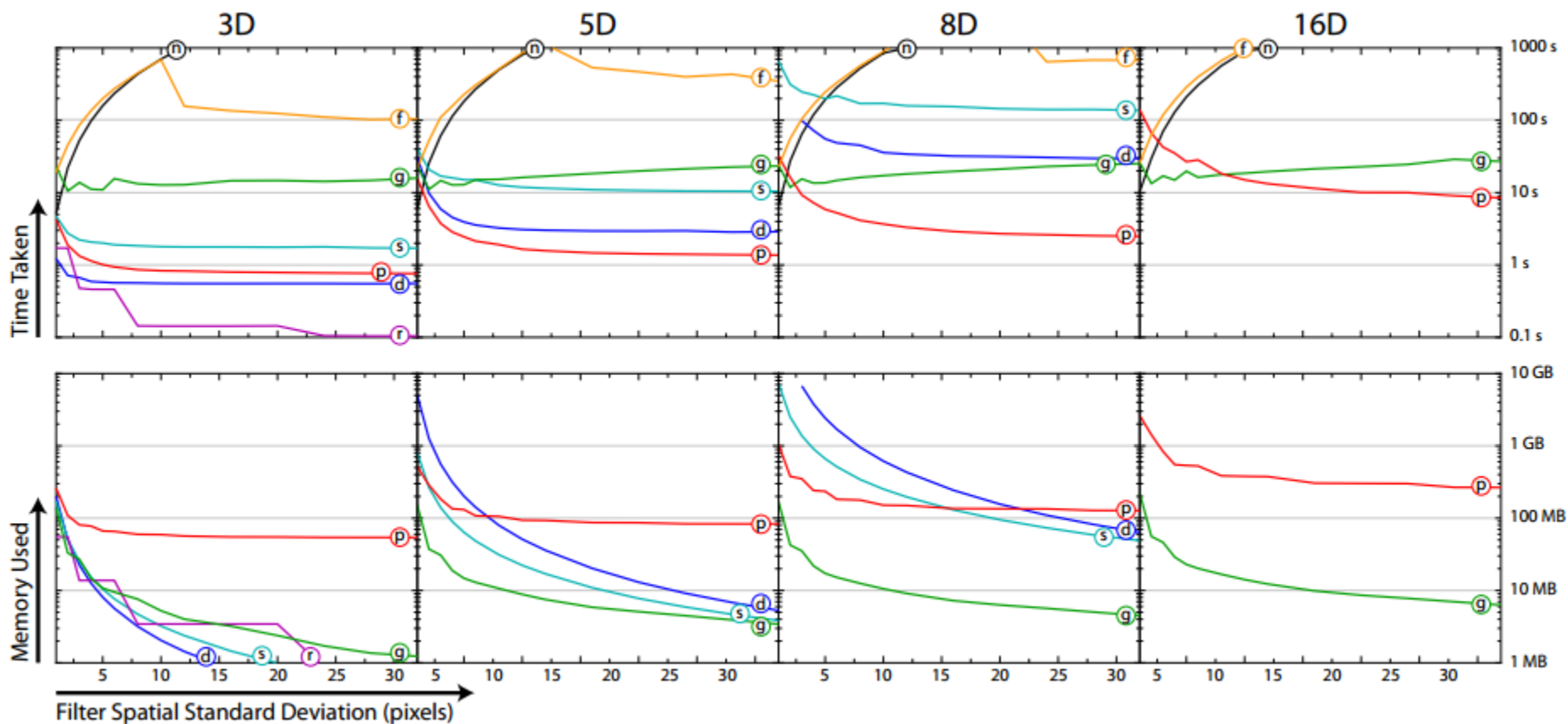


# Permutohedral Lattice

## Преимущества использования

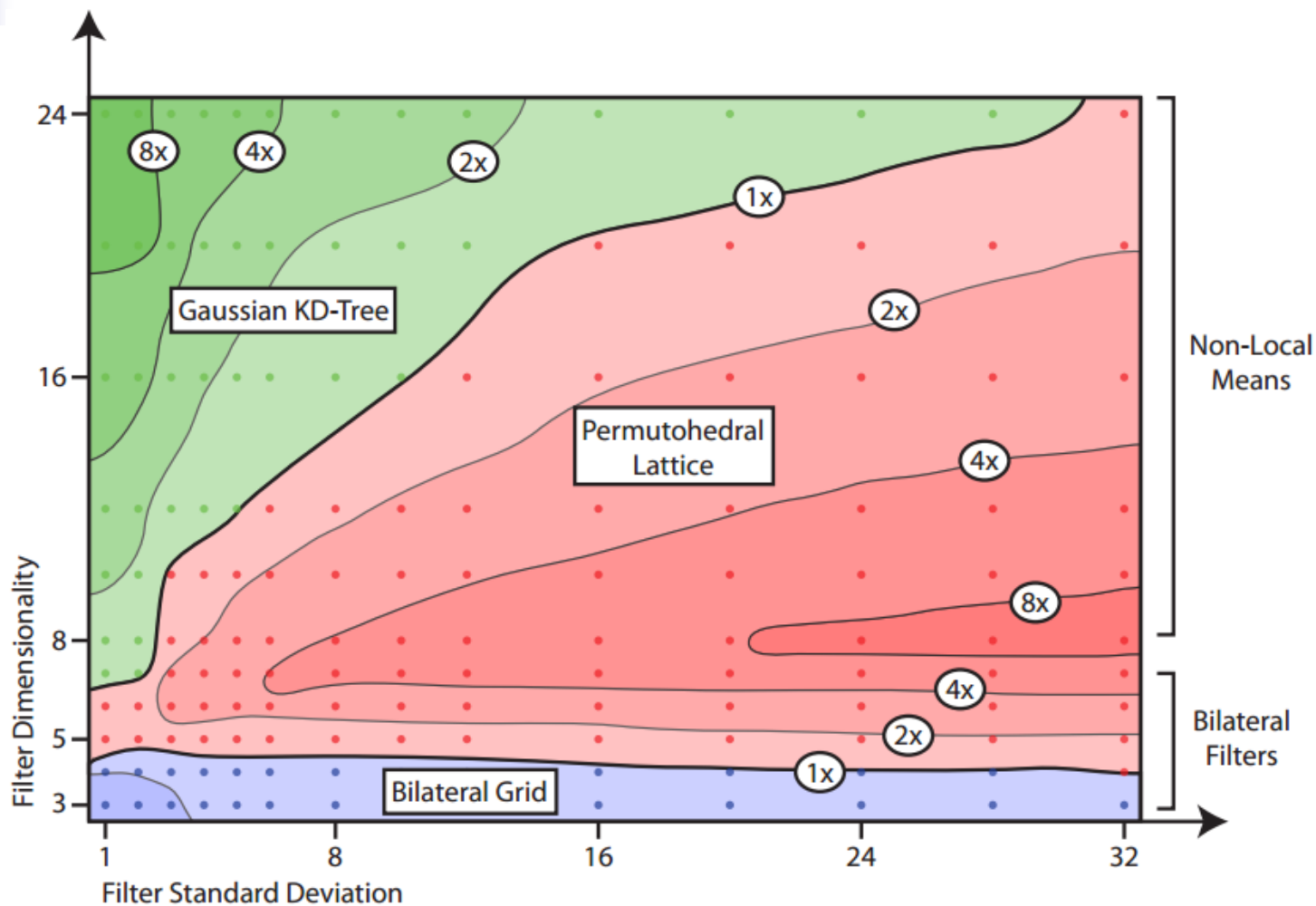
- Разделение пространства на симметричные симплексы  $\Rightarrow$  быстрая барицентрическая интерполяция (splatting и slicing)
- Тривиальное вычисление соседних точек решётки  $\Rightarrow$  быстрое сглаживание (blurring)
- Существенная экономия памяти

# Скорость работы



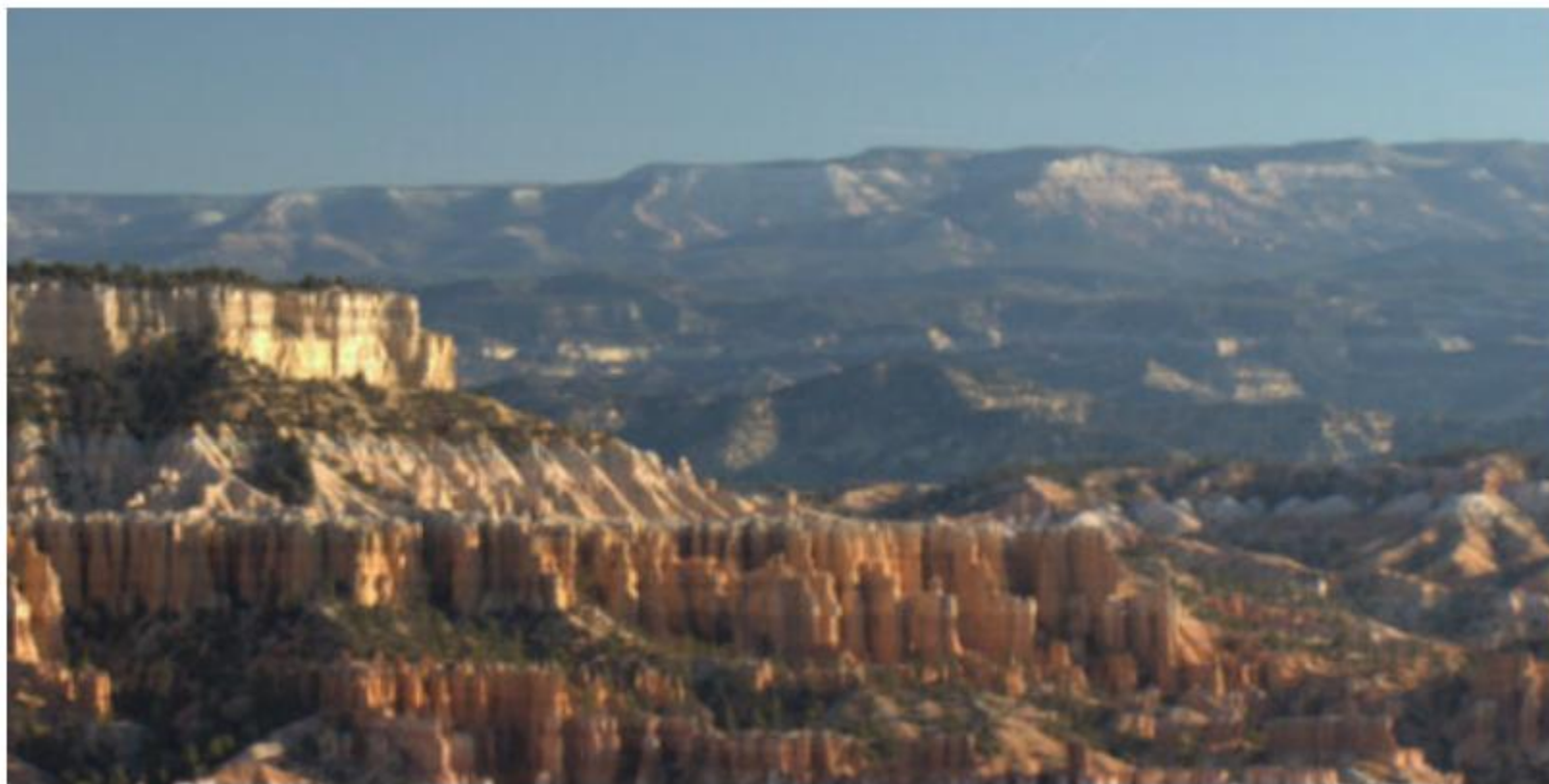
-n- Naive   -d- Dense Grid   -s- Sparse Grid   -p- Permutohedral Lattice   -g- Gaussian KD-Tree   -f- Fast Gauss Transform   -r- RTBF

# Анализ замеров скорости



# Пример работы

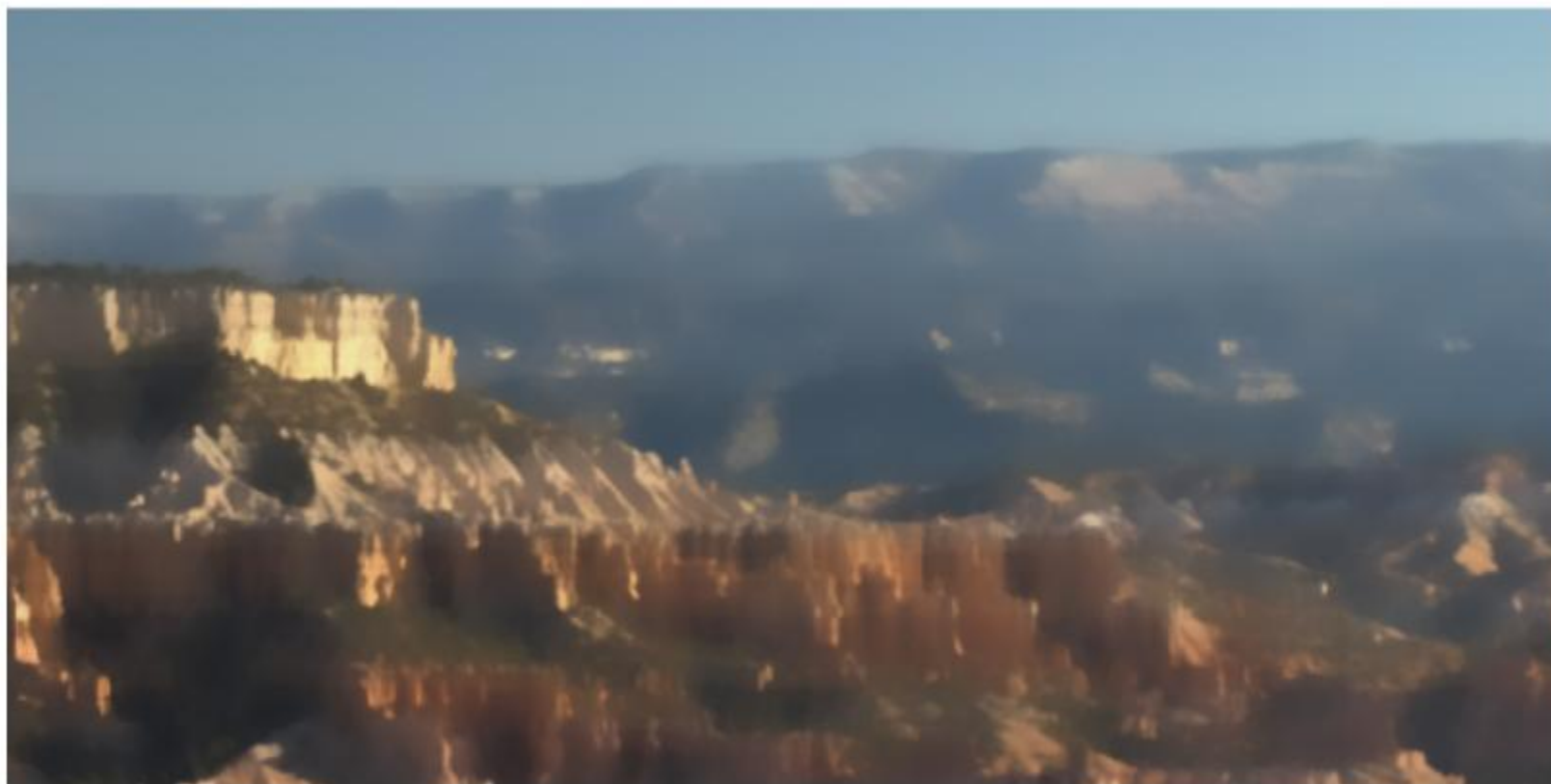
## Исходный кадр





# Пример работы

## Обработанный кадр





# Выводы

---

## Достоинства

- Высокая скорость работы
- Приведено полное описание алгоритма
- Доступен код на C++ и CUDA
- Доступна авторская видеопрезентация

## Недостатки

- Примеров работы очень мало
- Реализация кросс-фильтрации неочевидна

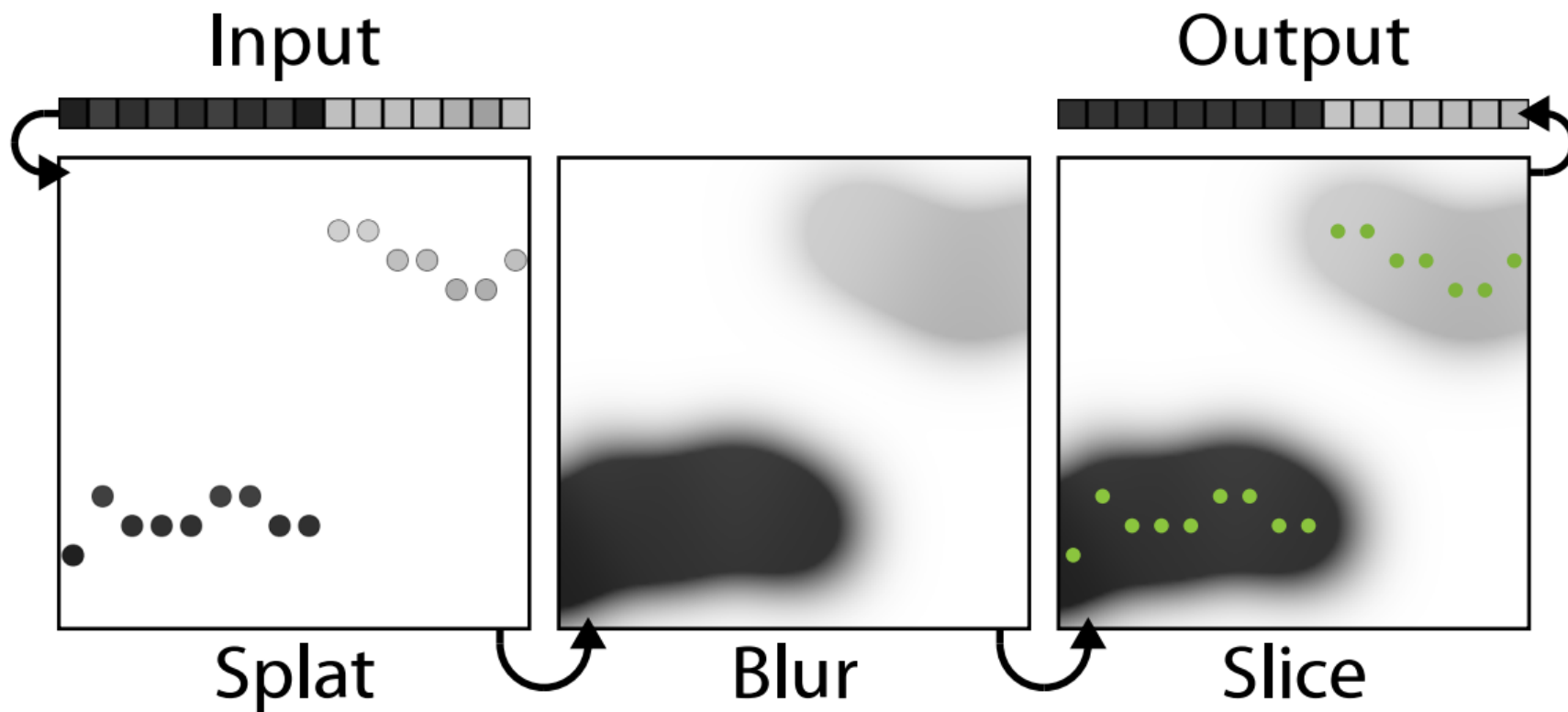


# Содержание

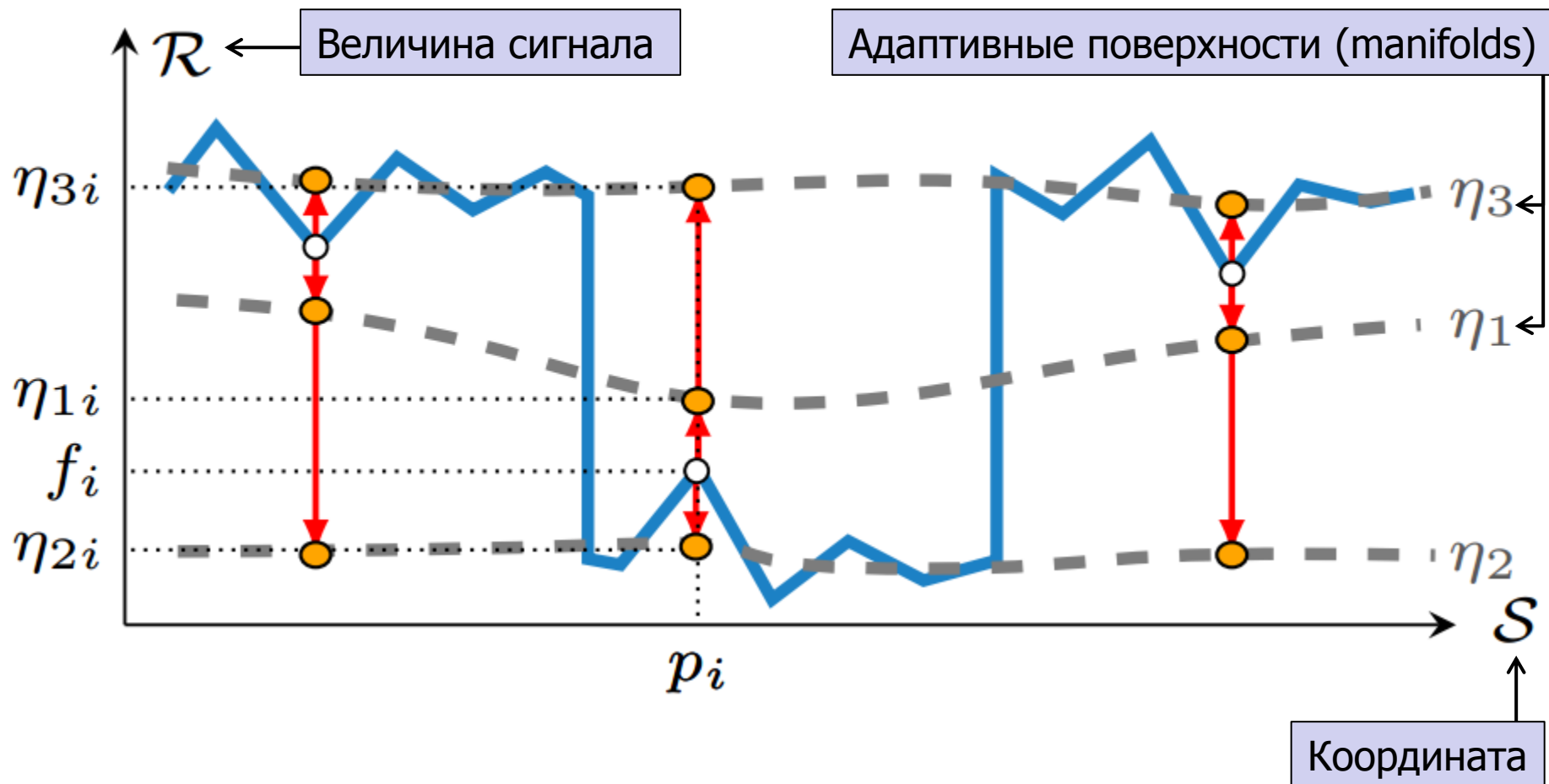
---

- Введение
- Gaussian KD-Tree
- Permutohedral Lattice (PL)
- **Adaptive Manifolds (AM)**
- Заключение

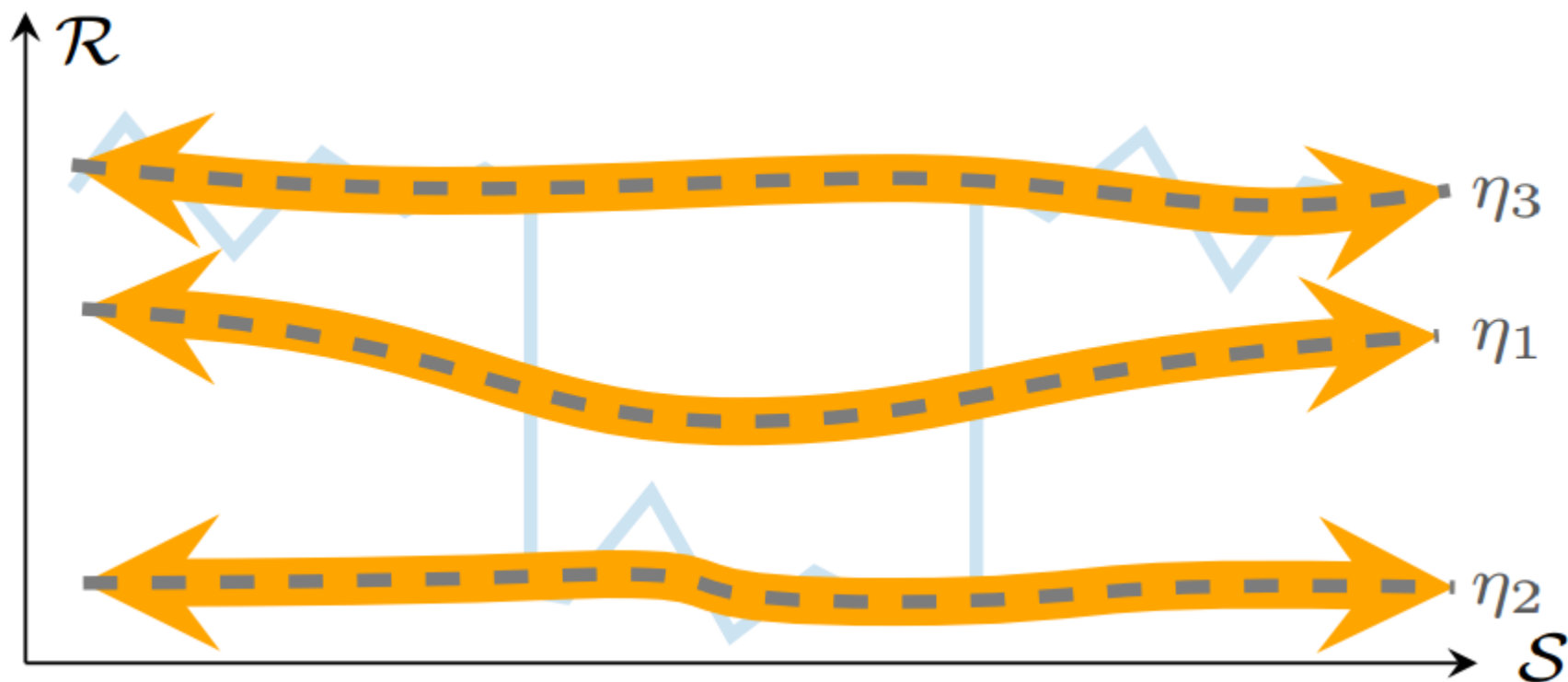
# Основы метода



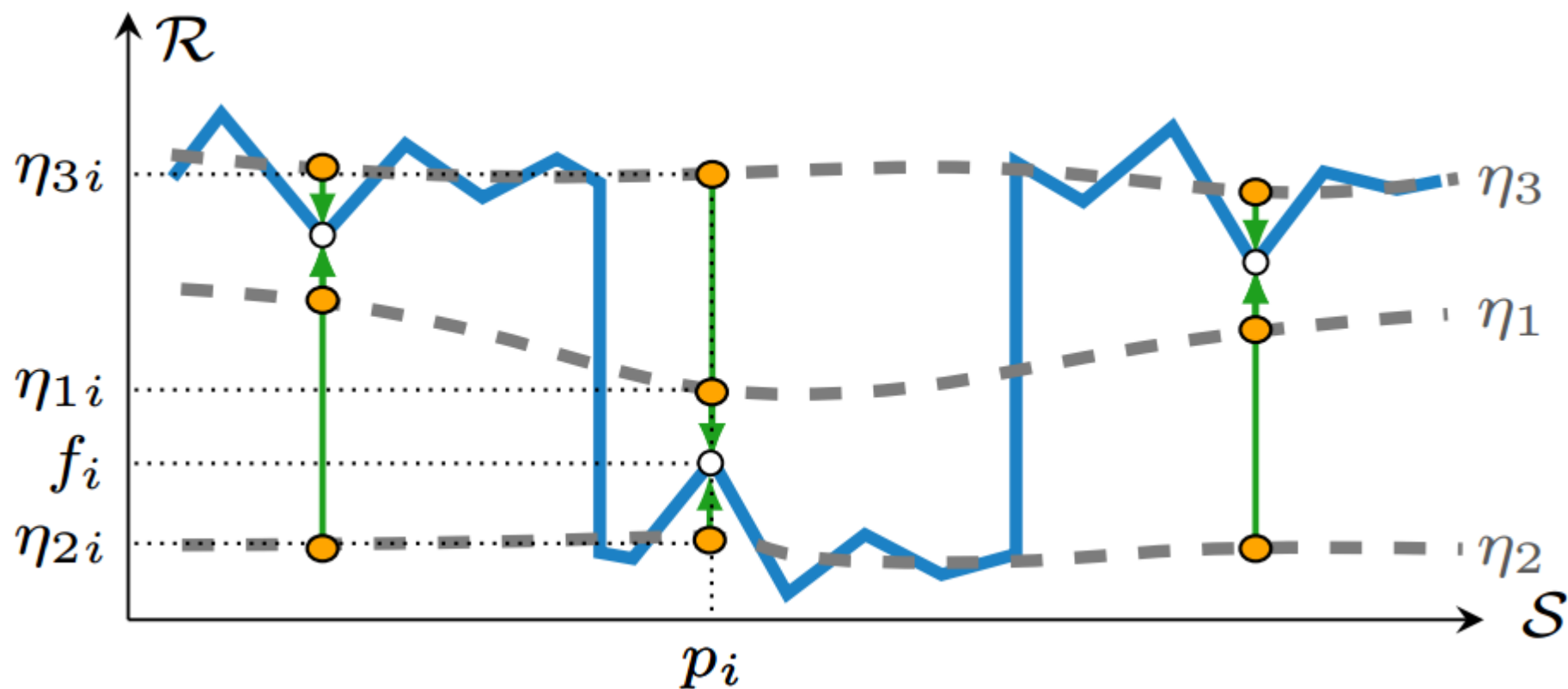
# Splatting



# Blurring



# Slicing



# Splatting

Значение в точке  
поверхности

Ядро Гаусса

Матрица ковариации

$$\Psi_{splat}(\hat{\eta}_{ki}) = \phi_{\frac{\Sigma_{\mathcal{R}}}{2}}(\eta_{ki} - f_i) f_i$$

Координата на поверхности

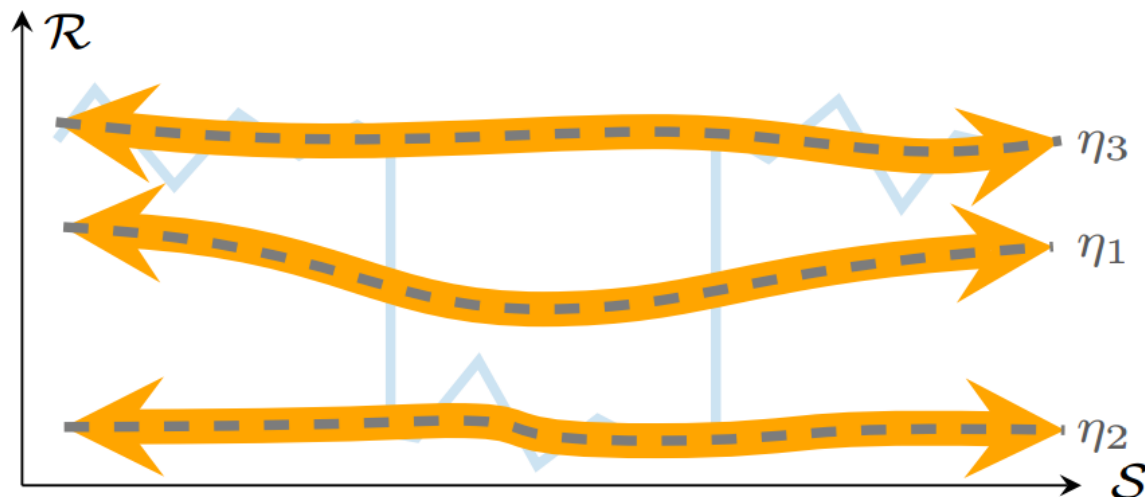
Координата поверхности

Значение сигнала



# Blurring

- Сглаживание с ядром Гаусса
- Учет кривизны поверхности
- Использование растяжения пространства для устранения анизотропии ядра Гаусса



# Slicing

Итоговое  
значение  
сигнала

$$g_i = \frac{\sum_{k=1}^K w_{ki} \Psi_{blur}(\hat{\eta}_{ki})}{\sum_{k=1}^K w_{ki} \Psi_{blur}^0(\hat{\eta}_{ki})}$$

$$w_{ki} = \phi_{\frac{\Sigma_{\mathcal{R}}}{2}}(\eta_{ki} - f_i)$$

$$\Psi_{splat}^0(\hat{\eta}_{ki}) = \phi_{\frac{\Sigma_{\mathcal{R}}}{2}}(\eta_{ki} - f_i)$$

$\Psi_{blur}$  – результат сглаживания  $\Psi_{splat}$

# Построение поверхностей

## Алгоритм (1)

1. Построение первой поверхности  $\eta_1$  низкочастотной фильтрацией
2. Определение преобладающего направления  $v_1$  отклонения сигнала от поверхности  $\eta_1$   
 $v_1$  – собственный вектор матрицы

$$(\mathbf{f}_1 - \eta_1)(\mathbf{f}_1 - \eta_1)^T$$

соответствующий наибольшему  
собственному значению

# Построение поверхностей

## Алгоритм (2)



3. Разбиение множества пикселей на два подмножества согласно  $v_1$
4. Повторение шагов 2–4 для получившихся подмножеств
5. Критерий остановки алгоритма: достижение заданной высоты построенного дерева поверхностей

# Построение поверхностей

## Ограничение высоты дерева (1)

Для обработки RGB-изображений:

$$H = \max(2, \lceil H_S L_{\mathcal{R}} \rceil)$$

$$H_S = \lfloor \log_2(\sigma_{S_{max}}) \rfloor - 1, L_{\mathcal{R}} = 1 - \sigma_{\mathcal{R}_{min}}$$

$$\sigma_{S_{max}} = \sqrt{\max(\Sigma_S)}$$

Матрица  
дисперсий  
по  
расстоянию

$$\sigma_{\mathcal{R}_{min}} = \sqrt{\min(\Sigma_{\mathcal{R}})}$$

Матрица  
дисперсий  
по цвету

# Построение поверхностей

## Предложенные авторами значения



		$\sigma_s$						
		1	4	8	16	32	64	128
$\sigma_r$	0.01	3	3	3	7	15	31	63
	0.10	3	3	3	7	15	31	63
	0.20	3	3	3	7	15	15	31
	0.40	3	3	3	3	7	7	15
	1.00	3	3	3	3	3	3	3

**Table 1:** *Several values of  $K$  computed for RGB color image filtering.*

# Построение поверхностей

## Ограничение высоты дерева (2)

Для иных случаев:

- Подбирать вручную, поддерживая баланс скорость/качество
- Остановиться, когда среднее отклонение сигнала от ближайшей плоскости будет достаточно мало

# Построение поверхностей

## Исходный кадр





# Построение поверхностей

## Результат (1/1)



$\eta_1$

$\eta_-$

$\eta_+$

# Построение поверхностей

## Результат (2/2)



$\eta_{-+}$

$\eta_{+-}$

$\eta_{++}$

$\eta_{--}$

# Детали реализации

- Низкочастотный фильтр

$$out[i] = in[i] + \exp\left(-\sqrt{2}/\sigma_l\right) (in[i-1] - in[i])$$

применяется дважды, в двух направлениях, к прореженному изображению.

Число опорных точек =  $\min(N, 4N/\sigma_l)$

- Для сглаживания используется рекурсивный фильтр [Gastal, 2011]

# Точность результатов

		$\sigma_s$						
		1	4	8	16	32	64	128
$\sigma_r$	0.01	57.8	52.7	51.2	50.9	50.6	50.4	50.3
	0.05	50.7	44.8	42.5	43.3	43.6	43.5	43.3
	0.10	47.9	43.7	41.1	41.7	42.1	41.6	40.6
	0.15	46.3	43.8	41.2	40.8	41.4	40.4	39.2
	0.20	45.3	44.1	41.6	40.2	41.0	39.4	38.0
	0.40	43.0	44.5	42.1	40.1	38.6	37.3	36.5
	0.60	41.8	43.7	41.7	40.1	39.0	37.4	35.5
	1.00	40.8	42.4	41.1	39.7	38.8	37.2	35.1

## PSNR with Naive Bilateral Filter

# Скорость работы (1)

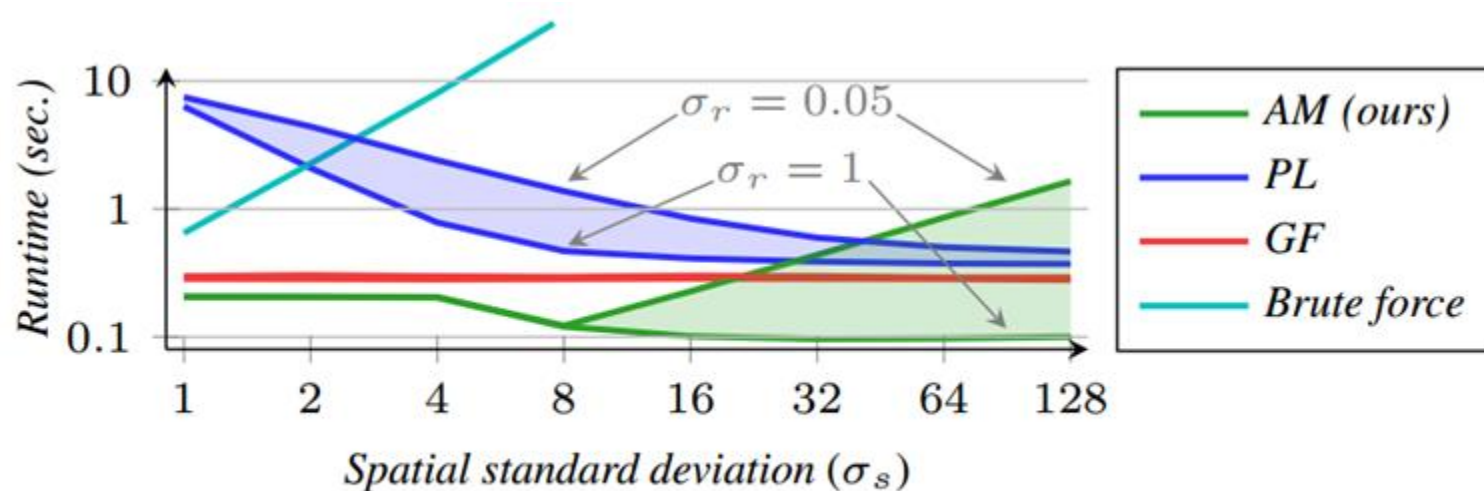
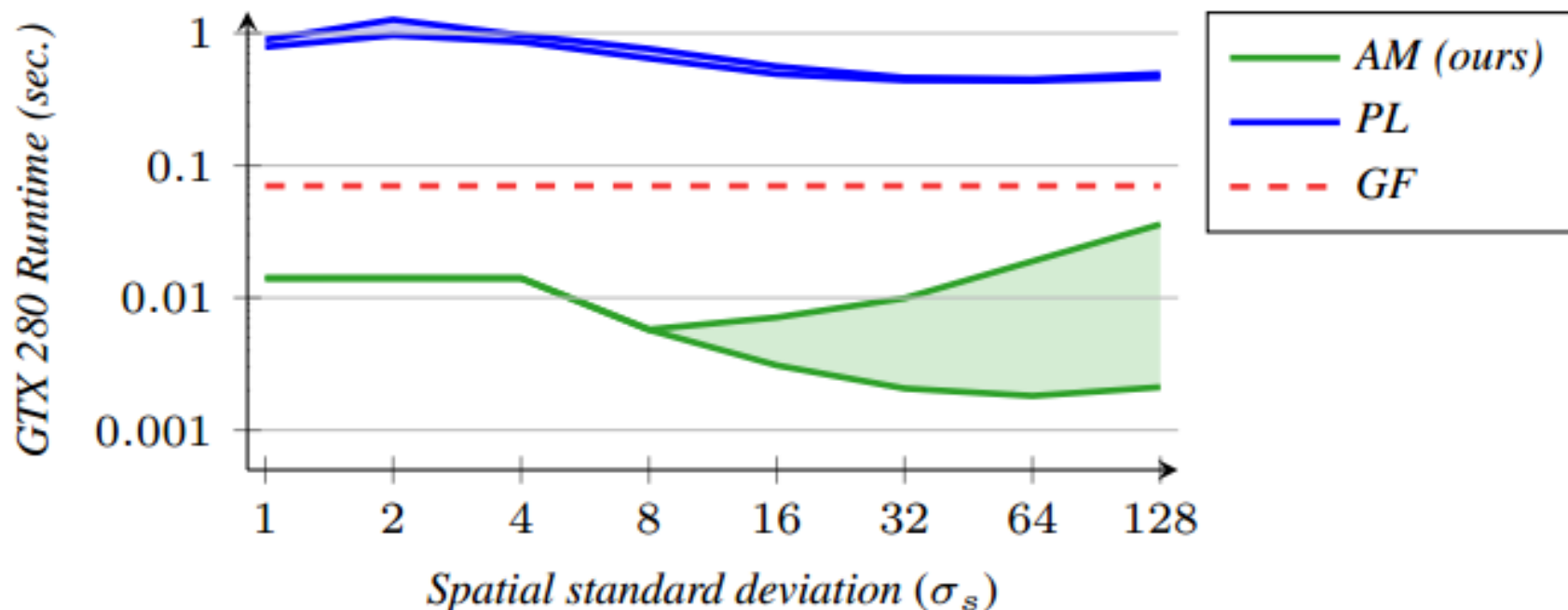


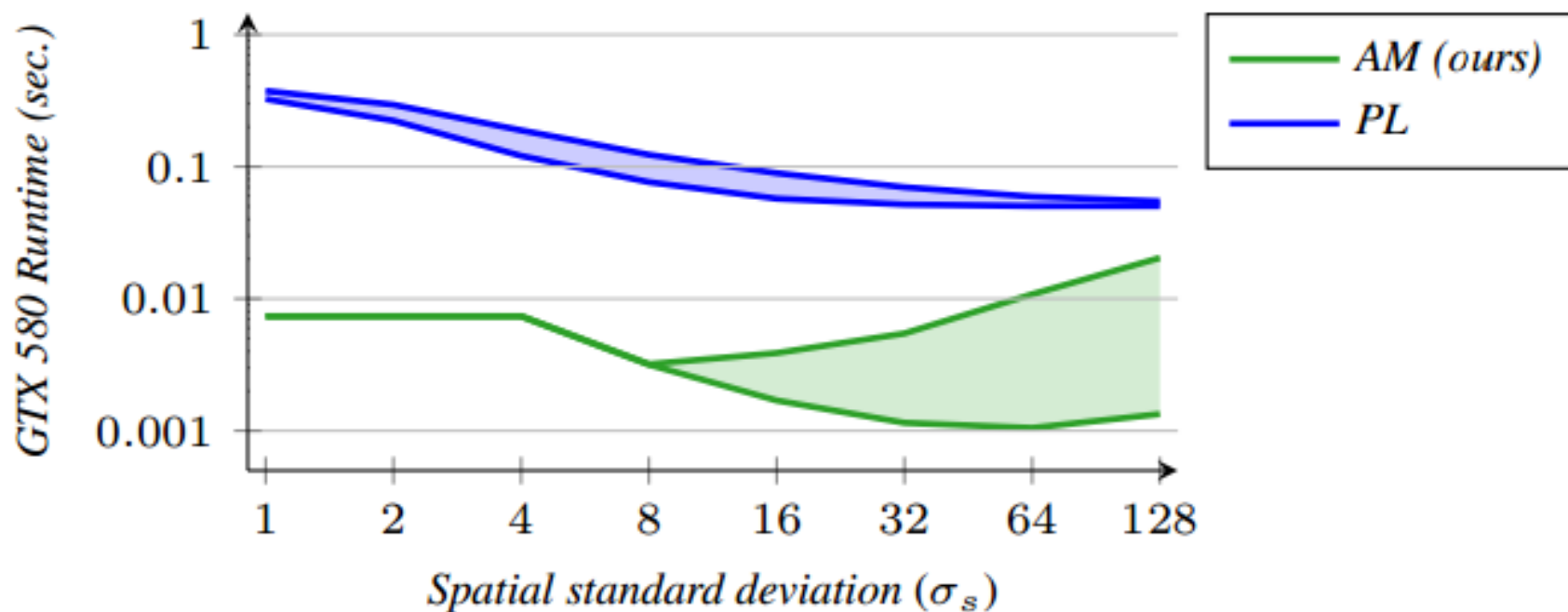
Figure 7: CPU performance

# Скорость работы (2)



**Figure 1: Performance on a GTX 280 GPU**

# Скорость работы (3)



**Figure 2: Performance on a GTX 580 GPU**

# Примеры работы (1)



(a) Photograph

(b) Our AM

(c) Bilateral (BF)

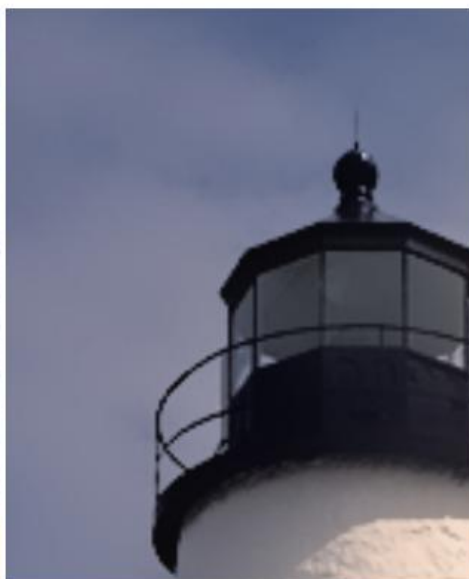
(d) Guided (GF)



# Примеры работы (1)



(a) Photograph



(b) Our AM



(c) Bilateral (BF)



(d) Guided (GF)

# Примеры работы (2)



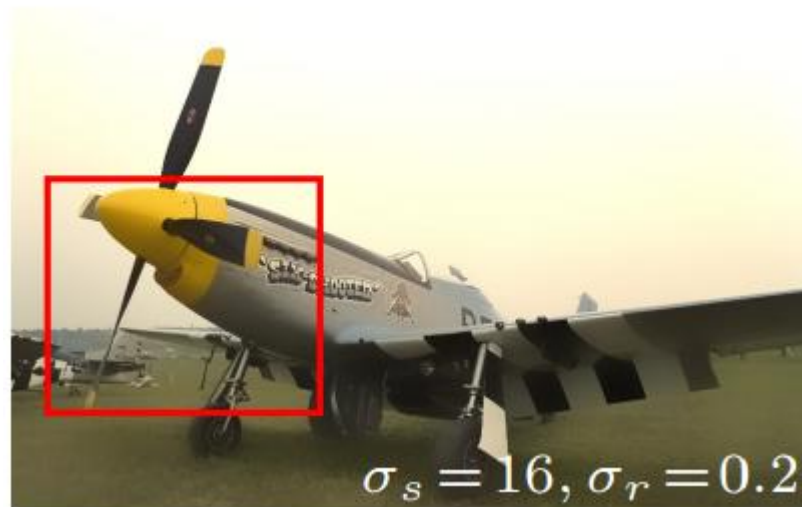
(a) Input

# Примеры работы (2)



(b) Ours, PSNR 41 dB

# Примеры работы (2)



(c) Bilateral filter

# Примеры работы (2)

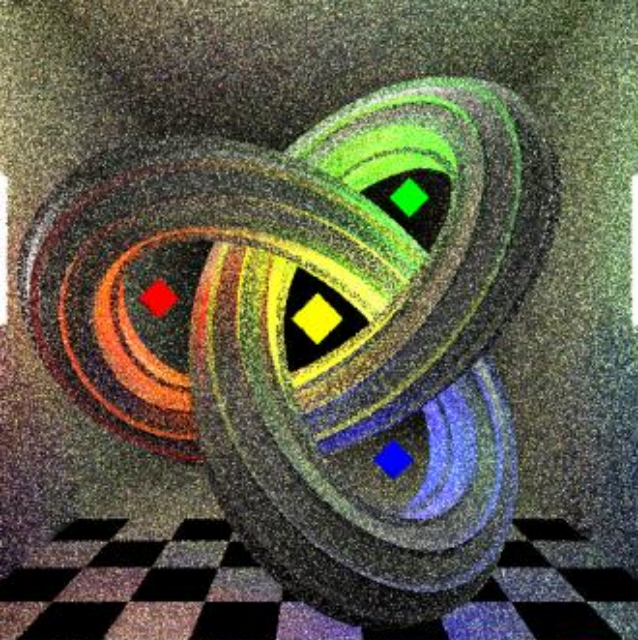


(d) Ours, PSNR 37 dB

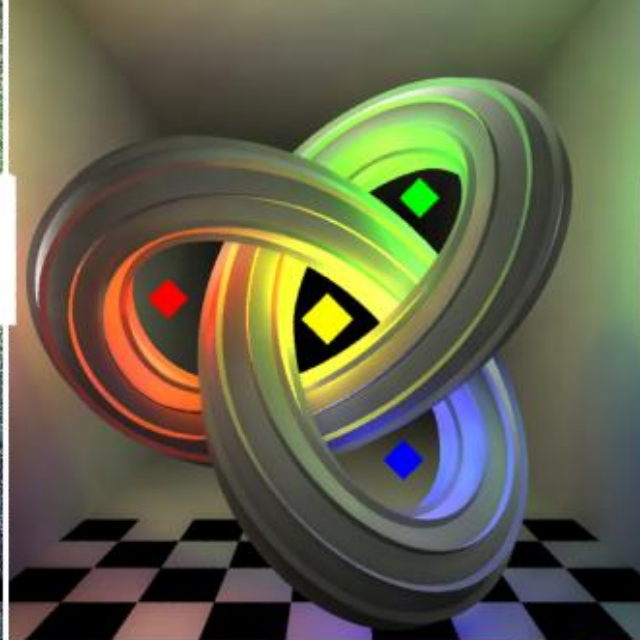
# Примеры работы (2)



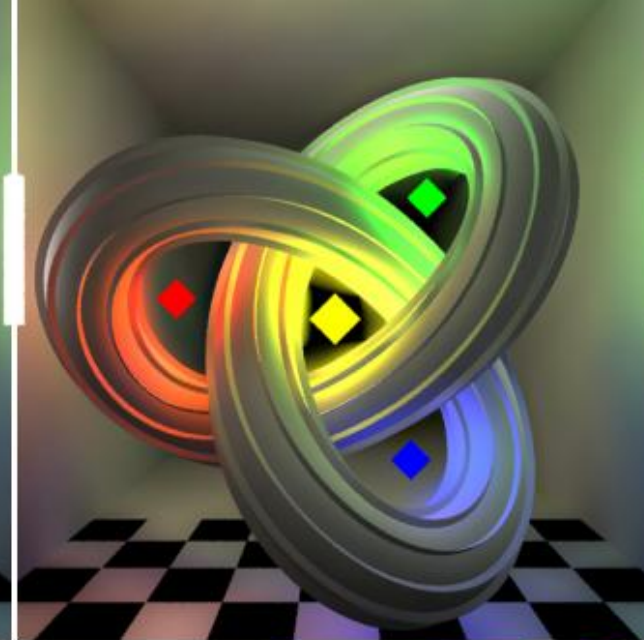
(e) Bilateral filter



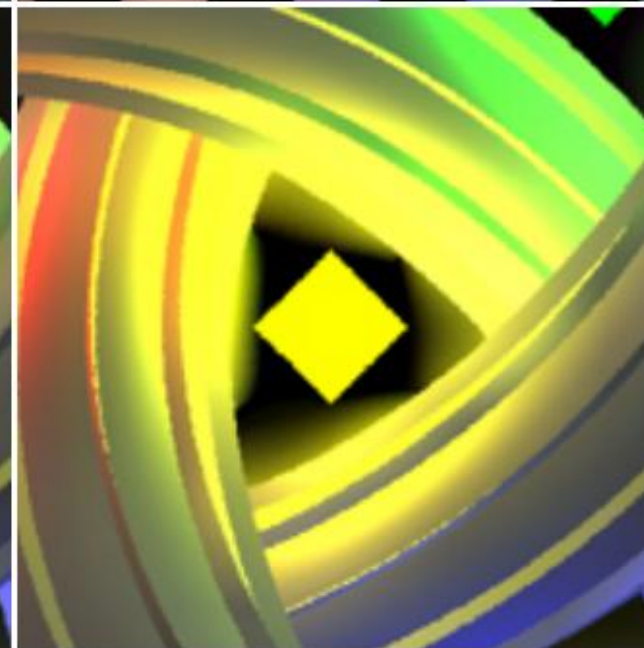
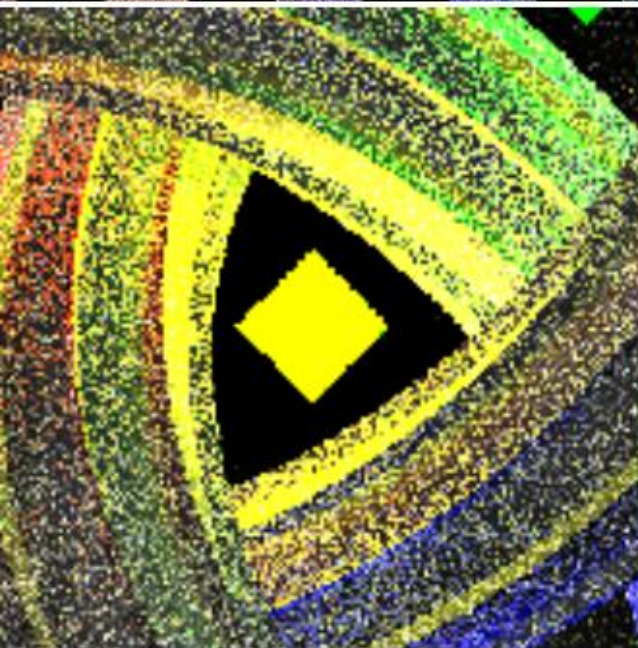
(d) Path-traced image



(e) Our AM filter



(f) Guided filter





# Выводы

---

## Достоинства

- Высокая скорость работы
- Наличие полного математического обоснования работы метода и выбора параметров
- Доступен код для MATLAB
- Доступна авторская видеопрезентация

## Недостатки

- Не представлено примеров по нашим темам
- Реализация кросс-фильтрации неочевидна





# Содержание

---

- Введение
- Gaussian KD-Tree
- Permutohedral Lattice (PL)
- Adaptive Manifolds (AM)
- **Заключение**

# Заключение

- Алгоритмы решают поставленную задачу
- Для представленных алгоритмов доступен исходный код

Надо брать, тестировать  
и использовать!



# Литература (1)

1. A. Adams, N. Gelfand, J. Dolson, and M. Leroy, "Gaussian KD-Trees for Fast High-Dimensional Filtering," in *ACM Transactions on Graphics*, Proceedings of ACM SIGGRAPH 2009, Volume 28 Issue 3, August 2009, Article No. 21.
2. A. Adams, J. Baek, and M. A. Davis, "Fast High-Dimensional Filtering Using the Permutohedral Lattice," in *Computer Graphics Forum*, Vol. 29, No. 2. (2010), pp. 753 – 762.
3. Eduardo S. L. Gastal and Manuel M. Oliveira, "Adaptive Manifolds for Real-Time High-Dimensional Filtering," in *ACM Transactions on Graphics*, SIGGRAPH 2012 Conference Proceedings, Volume 31 Issue 4, July 2012, Article No. 33.

## Литература (2)

4. Sylvain Paris and Frédo Durand, "A Fast Approximation of the Bilateral Filter Using a Signal Processing Approach," *in Proceedings of the European Conference on Computer Vision*, 2006, pp. 568 – 580.
5. Eduardo S. L. Gastal and Manuel M. Oliveira, "Domain Transform for Edge-Aware Image and Video Processing," *in ACM Transactions on Graphics*, Volume 30, Number 4, Proceedings of SIGGRAPH 2011, Article 69.

# Лаборатория компьютерной графики и мультимедиа



Видеогруппа — это:

- Выпускники в аспирантурах Англии, Франции, Швейцарии (в России в МГУ и ИПМ им. Келдыша)
- Выпускниками защищены 5 диссертаций
- Наиболее популярные в мире сравнения видеокодеков
- Более 3 миллионов скачанных фильтров обработки видео